

1. はじめに

マックイムシによる松枯れ地区をリモートセンシング技術を用いて調査することは資源面あるいは現場面から重要と思われる。リモートセンシング技術による松枯れ地区の調査の特徴は広域を迅速にほぼ同時に観測が可能で抽出データのデジタル解析が可能なことである。しかし一方で松枯れ地区のごとき未来予測観測は必ずしも有効なデータの抽出が望めず、かつ時系列データの比較基準が定めにくい等の問題点を含んでいる。これらの点を考慮すれば松枯れ地区をMSS調査で捕えること自体困難であるが、幸にして松枯れの進行状態などから、あるいは防除地域の分布などから、松枯れ地区を予測することができ、かつ有効なMSS航空機データの抽出ができたので、これらのデータを用いて松枯れ地区の松の健全木から枯損木に至るソフトウェア変動調査研究を実施した。この調査地は和歌山県御坊・日高地方で、MSS調査以外に簡易航空写真、ハンドカメラによる35mm写真、および現地調査などが並行して行われている。これらの調査の中から松林のスペクトル変動の性状について述べる。時系列MSSデータのための補正係数

太陽光線の照度(H)が地表もしくは水面を反射しマルチスペクトラル・スキナに入力する光子放射輝度 $N(\lambda)$ は、式(1)で近似されるように、大気の透過率 $\tau(\lambda)$ 、諸物体の反射率 $P(\lambda)$ 、入射角 (θ_s) およびバースラジ

$$N(\lambda) = \frac{1}{r} H(\lambda) \cdot P(\lambda) \cdot \tau(\lambda) \cos \theta_s + N_p(\lambda) \quad \dots \dots (1)$$

アンズ $N_p(\lambda)$ などの諸要因によって決定される。また、気体では放射発散度 W と放射率 ϵ などの諸因子が $N(\lambda)$ に関係してくる。これらのMSSデータの諸要因を一定にすることが可能であれば、この状態におけるMSSデータを目安として、MSSデータの諸要因の各々の変動を種々の実験から推定することができよう。

いま、MSS時系列データを年度単位で抽出することを前提にすれば、太陽光線の照度(H)ならびに、 $\tau(\lambda)$ 、 θ_s 、 $N_p(\lambda)$ などは季節と天候を限定・規定することによって、ほぼ同一調査条件とみなすこともできる。とくに入射角 θ_s は調査コースと航空機の高さを一定にすることによって規定できる。このような条件と仮定の下で地表の諸物体(とくに松林)の放射・反射率(ϵ , P)が変化すれば時系列MSSデータ $X_{lc}(l: \text{年度番号})$ が ϵ , P の変化に応じて変動することになる。このようなマクロ的思考の下でMSS調査の季節・月などの期間を指定し、かつ調査コースと飛行高度を定めても、MSSデータは一定化したいことが実験的に明らかになっている。そこで本研究では上記諸要因によるMSSデータの時系列による変動を補正係数 f_c によって代用する簡易的方法を採用することとする。この方法による時系列データの補正法は、ある年度のMSSデータ X_{lc} を基準とし、他の時系列MSSデータ X_{ec} を次式(2)によって調整するものである。

$$f_{ec} = X_{lc} / X_{ec} \quad (l=2,3,\dots; c=1,2,3,\dots) \quad \dots \dots (2)$$

$$\bar{X}_{ec,i,j} = f_{ec} \cdot X_{ec,i,j} \quad (i=1,2,\dots,r; j=1,2,\dots,s) \quad \dots \dots (3)$$

ここに、 \bar{X} は分析地区の画素データ X の修正値である。また、 i はMSSデータをデジタル化した、CCTデータとしてときのライン番号であり、 j は同CCTデータのコラム番号である。

3. MSS調査コースの選定

松枯れ地区の健全とその後の積害状態を知歌山県南部において調査したところ、被害地区が海岸沿いに進行する傾向を見出した。さらにまた、進行方向が北上しつつあることをつとめられたので、1973年度ではほとんど松枯れ現象のみられていない和歌山県御坊市・日高郡付近の海岸沿いを十分含み、その地域に松林を含んでいり場所をほぼ直線状に選定した。直線状にした理由はフライト計画をスムーズに実行させる目的からである。

4. 松枯れの原因と実験地

マツノマダカミキリによって運ばれるマツノサイセンチュウ¹⁾は体長0.6~1.0mmで約5日間で一世代を終えるため旺盛な増殖力をもつ線虫である。このマツノサイセンチュウが樹木に侵入(6月頃)して約10日間松林のヤニは激減し、針葉の蒸散がにぶり、約2ヶ月後には松木はしおれ、水不足が激しくなると枯死していく。これらの松木を外観色調から観測してみても暗緑色から明褐色に変化し次第に暗褐色化していくことが明らかになり、明褐色が顕著と認められるのは9月下旬であることがわかってきた。そこで、MSS調査を10月上旬に実施することが最適と判断したので、同季節に2年ごとに3回のMSS調査を実施して来た。これらの調査の諸条件をまとめると表-1となり、調査地域としては図-1である。この調査地域の中で地区A、Bについてはすでに分析しており²⁾松枯れ地区のスペクトル変動をMSSデータで抽出できることが明らかになった。そこで、同様の傾向をC地区においても見出せるかどうかを明らかにする目的でデータ解析を進めるとにする。なお、C地区を塩屋地区と呼ぶことにする。

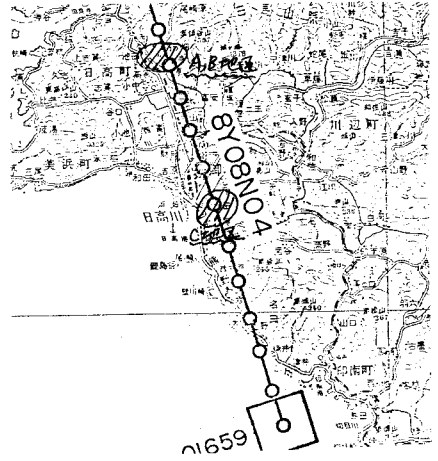


図-1 松枯れ調査地区

5. データ処理

表-1の時系列データをCCTFフォーマットに変換して、プログラムパッケージPARSを用いることにした。このPARSには教師なし分類と教師つぎ分類とが処理可能であるので、前者についてはWard法を後者についてはユークリッド距離法を適用することにした。これらの手法によって作成される分類図は松枯れのスペクトル変動を比較するための画素位置を決定するために用いている。

表-1 MSS時系列調査条件

調査年度	1974	1976	1978
調査月・日・時間	10.5 (13.03)	10.28 (12.03)	11.8 ()
MSS観測機	CR1-CR11	CR20-CR11	CR12-CR11
コース番号	B9-SH-11	G76036M	G78029M
飛行高度	5000ft (1500m)	6050ft (1832)	5600ft (1700)
MSSの観測	73-932	3760	73-932
チャンネル幅	3.80	5.30	4.08
CCTチャンネル数	6190	5790	6300
CCTチャンネル幅	2.3, 5.7, 7.1, 20.2	2.3, 5.7, 7.1, 7.3	1.2, 5.7, 7.1, 20.2

6. 補正係数の適用効果

塩屋地区(分析地区)を教師なし分類(クラス数20)で実施し、この中から放射反射率の高いと思われるクラスを年度ごとに並び、個々のチャンネルの平均値を年度ごとに求めた(表-2)。このXicデータから補正係数を求めたものが表-3である。この補正係数を松枯れ地区に適用した結果が図-3であり、詳細は講演時に述べる。

参考文献

- 1) 徳重, 清原氏による発見
- 2) 星(他); 低高度MSSによる松枯れのスペクトル変動調査, 土木学会関西支部講演会

表-2 補正係数を求めるためのXicデータ値

チャンネル番号	1	2	3	4	5	6
1974	75.1	143.3	87.6	103.9	112.8	105.7
1976	161.0	157.3	226.0	188.3	72.8	165.3
1978	100.6	156.6	185.5	207.6	170.5	146.1

表-3 1974年度データを基準にしたときの補正係数 P_{ic}

チャンネル番号	1	2	3	4	5	6
1974	1.00	1.00	1.00	1.00	1.00	1.00
1976	2.14	1.10	2.70	1.81	0.62	1.56
1978	1.24	1.09	2.12	2.02	1.51	1.36

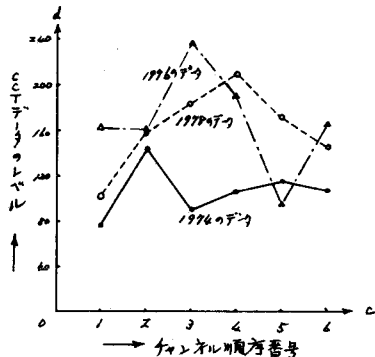


図-2 補正係数算出用地区の画素平均データ

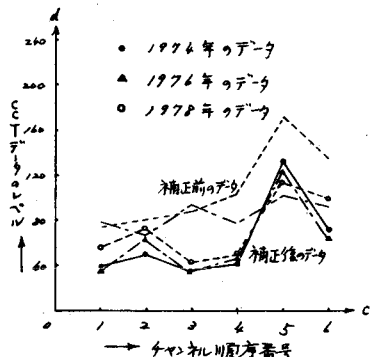


図-3 松枯れ地区のスペクトル変動